

1 : equazione del moto uniformemente
accelerato \Rightarrow indipendente delle masse

2.1: Conservazione delle quantità di moto: $\bar{P} = \text{cost}$

- urto elastico ($m_1 = m_2$)

$$\begin{array}{cc} m_1 & \bar{v}_1 \\ \bullet & \rightarrow \end{array} \quad \begin{array}{cc} m_2 & \\ \bullet & \end{array} \Rightarrow v_1' = 0 \quad v_2' = v_1$$

- urto completamente anelastico ($m_1 = m_2$)

$$\begin{array}{cc} m_1 & \bar{v}_1 \\ \bullet & \rightarrow \end{array} \quad \begin{array}{cc} m_2 & \\ \bullet & \end{array} \Rightarrow m_1 v_1 = (m_1 + m_2) v' \Rightarrow v' = \frac{v_1}{2}$$

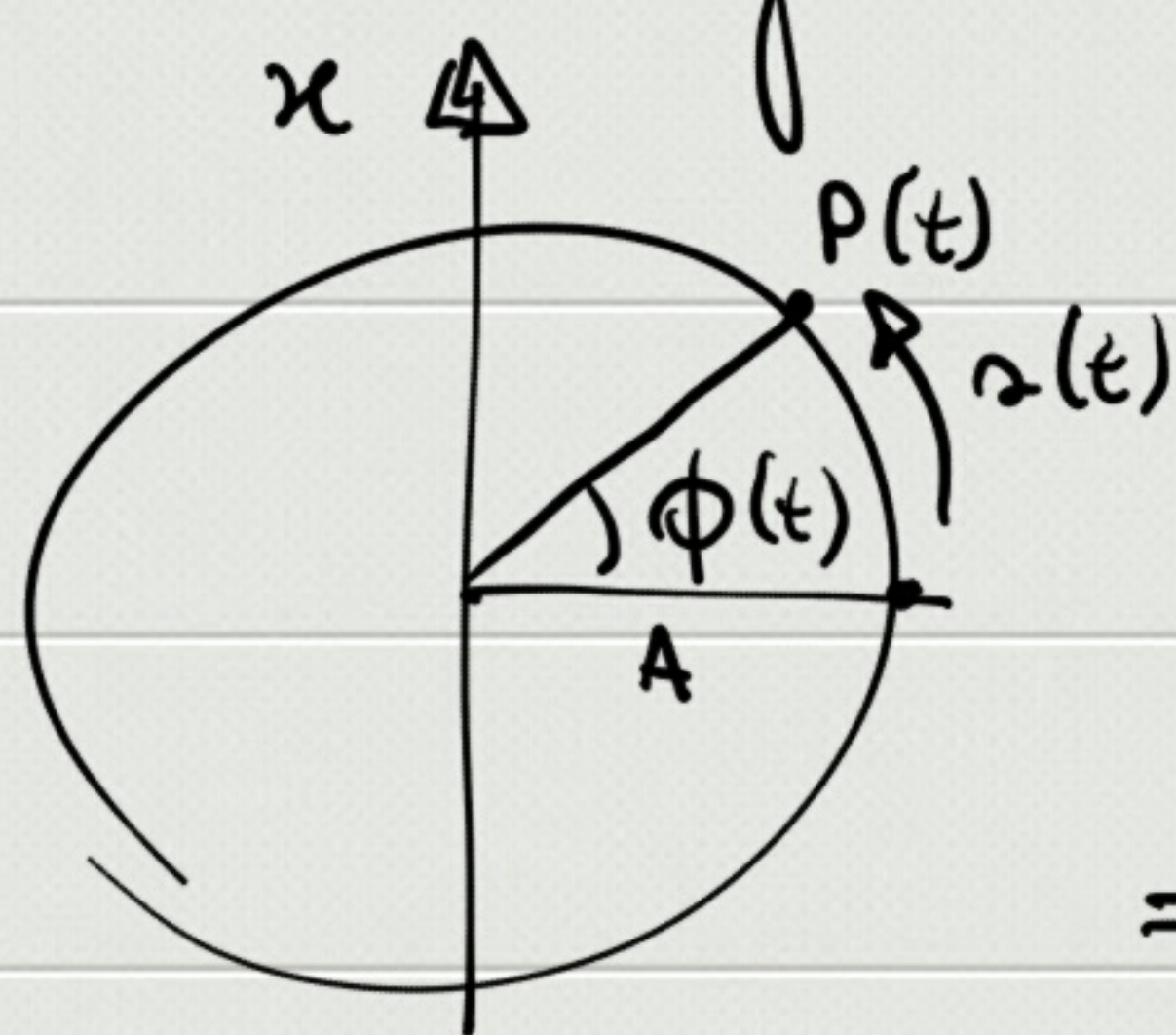
- "esplosione" $\begin{array}{cc} m_1 & m_2 \\ | & \bullet & | \\ \hline \end{array} \quad m_1 = m_2$

$$P = 0 = m_1 \bar{v}_1' + m_2 \bar{v}_2' \Rightarrow v_1 = -v_2$$

2.2: $\bar{P} = \text{cost}$ se sistema isolato

$$\bar{R}^E = m \bar{a}_{cm} = \frac{d\bar{P}}{dt} \neq 0 \Rightarrow \bar{P} \neq \text{cost} \Rightarrow \bar{v}_{cm} \neq 0$$

3: Moto armonico come proiezione del moto circolare uniforme



$$s(t) = s_0 + vt$$

$$\Rightarrow \phi(t) = \phi_0 + \omega t$$

$\times \frac{1}{R}$

$$\Rightarrow \boxed{x(t) = A \sin(\omega t + \phi_0)}$$

4: Pendolo semplice

$$T = 2\pi \sqrt{\frac{L}{g}} \quad \text{non dipende dalle masse}$$

5: Pendoli di lunghezza diverse

$$T = 2\pi \sqrt{\frac{L}{g}}$$

$$N_i T_i = N_j T_j$$

$$\Rightarrow N_i \sqrt{L_i} = N_j \sqrt{L_j}$$

$$\Rightarrow L_j = L_i \frac{N_i^2}{N_j^2}$$

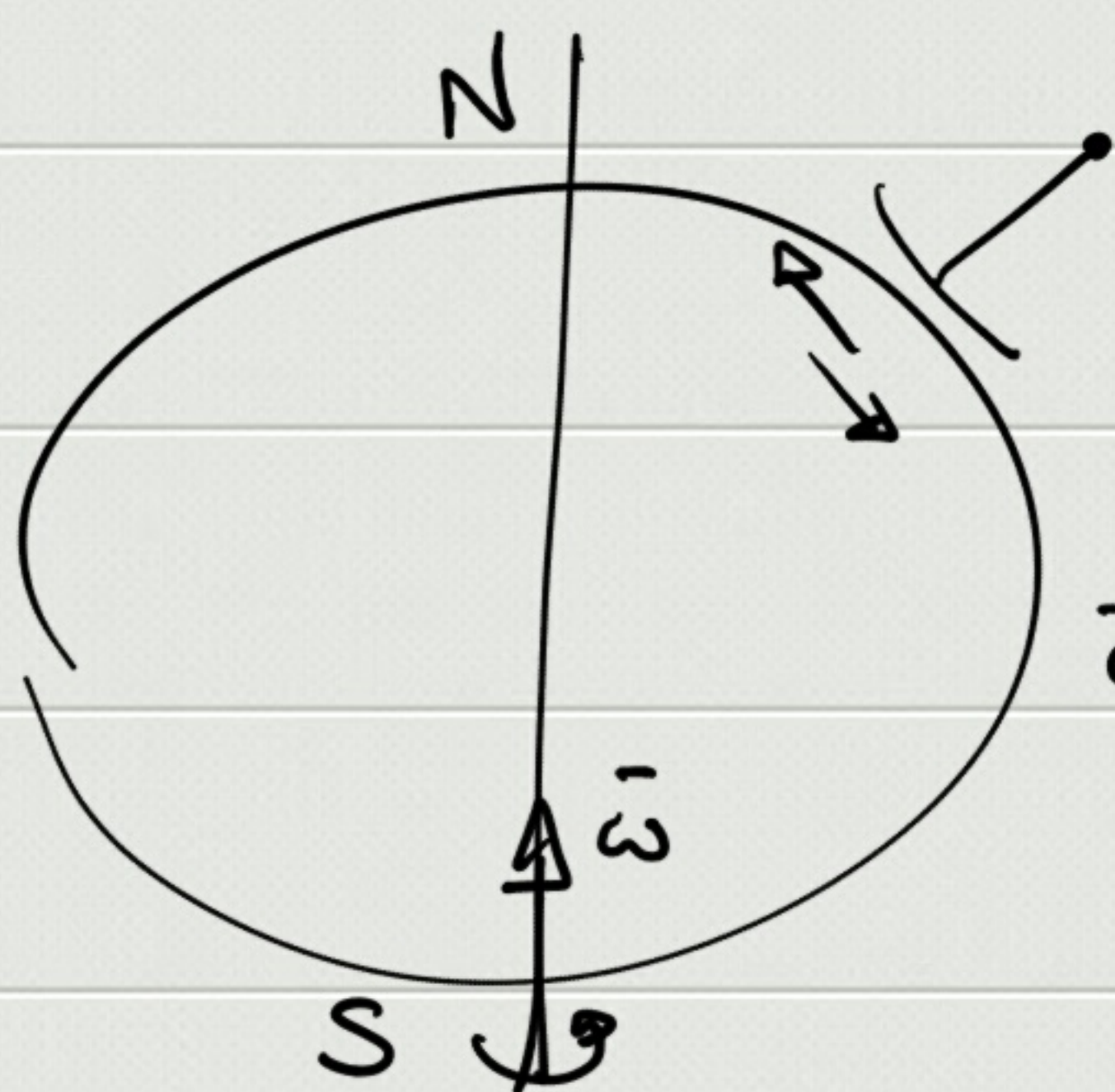
6 : accelerazione di Coriolis $\bar{a}_c = 2\bar{\omega} \times \bar{v}'$

$$\bar{a} = \bar{a}' + \bar{a}_0' + \bar{\omega} \times (\bar{\omega} \times \bar{r}') + \frac{d\bar{\omega}}{dt} \times \bar{r}' + 2\bar{\omega} \times \bar{v}'$$

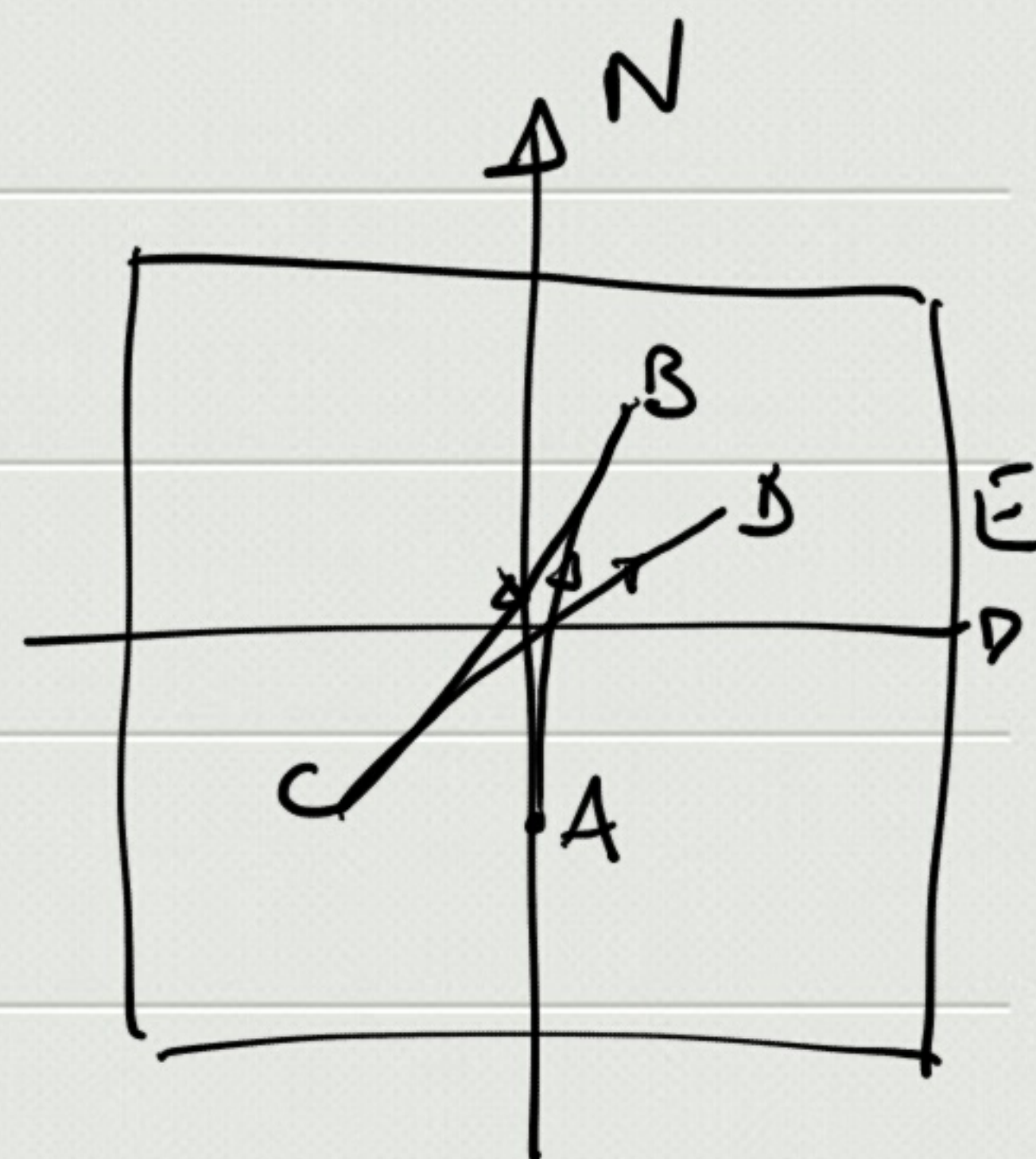
$$\left. \begin{array}{l} \bar{a}' = \bar{a}_0' = 0 \\ \omega = \text{cost} \end{array} \right\} \Rightarrow \bar{a} = \bar{\omega} \times (\bar{\omega} \times \bar{r}') + 2\bar{\omega} \times \bar{v}'$$



7.1 : Pendolo di Foucault (modello)



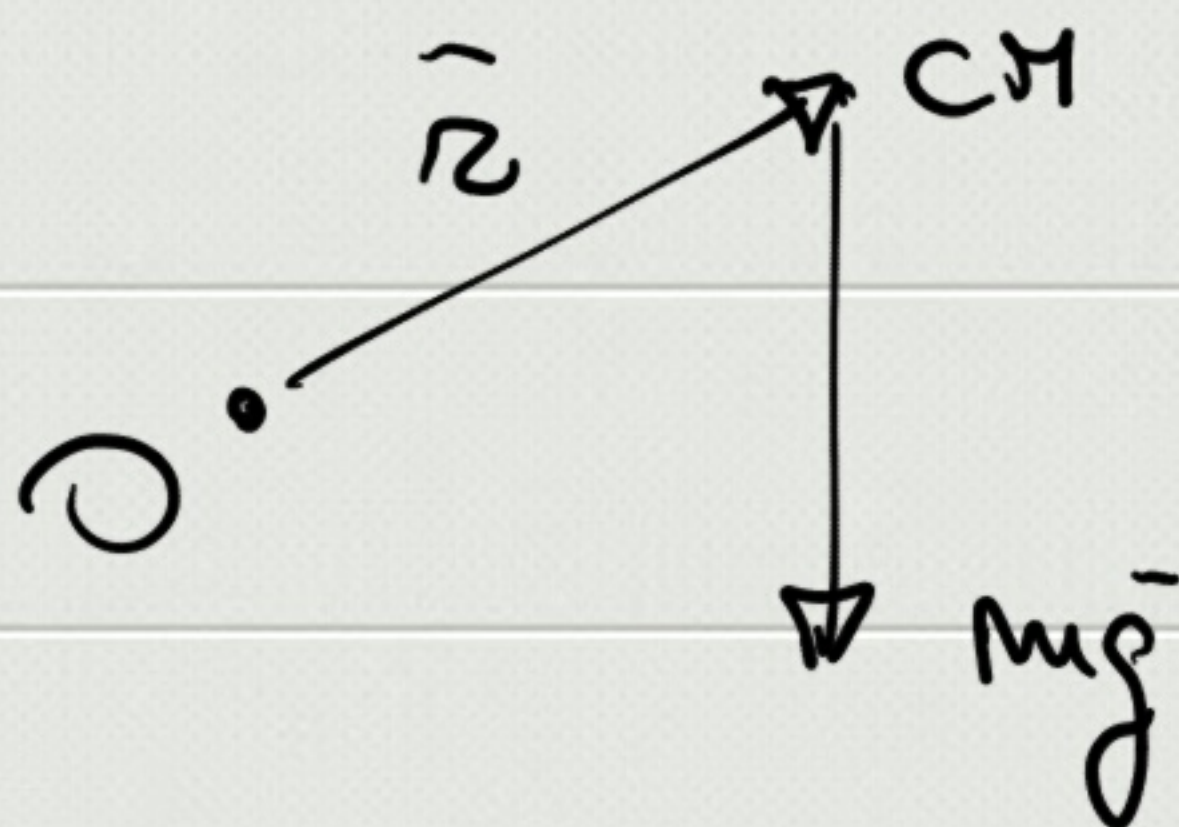
$$\bar{a}' = -2\bar{\omega} \times \bar{v}'$$



7.2 : Pendolo di Foucault

8: gireoscopio a sospensione cardanica
 polo \equiv CM punto fisso $\Rightarrow \boxed{\bar{L} = \text{cost}}$

9: gireoscopio con polo = punto fisso \neq CM



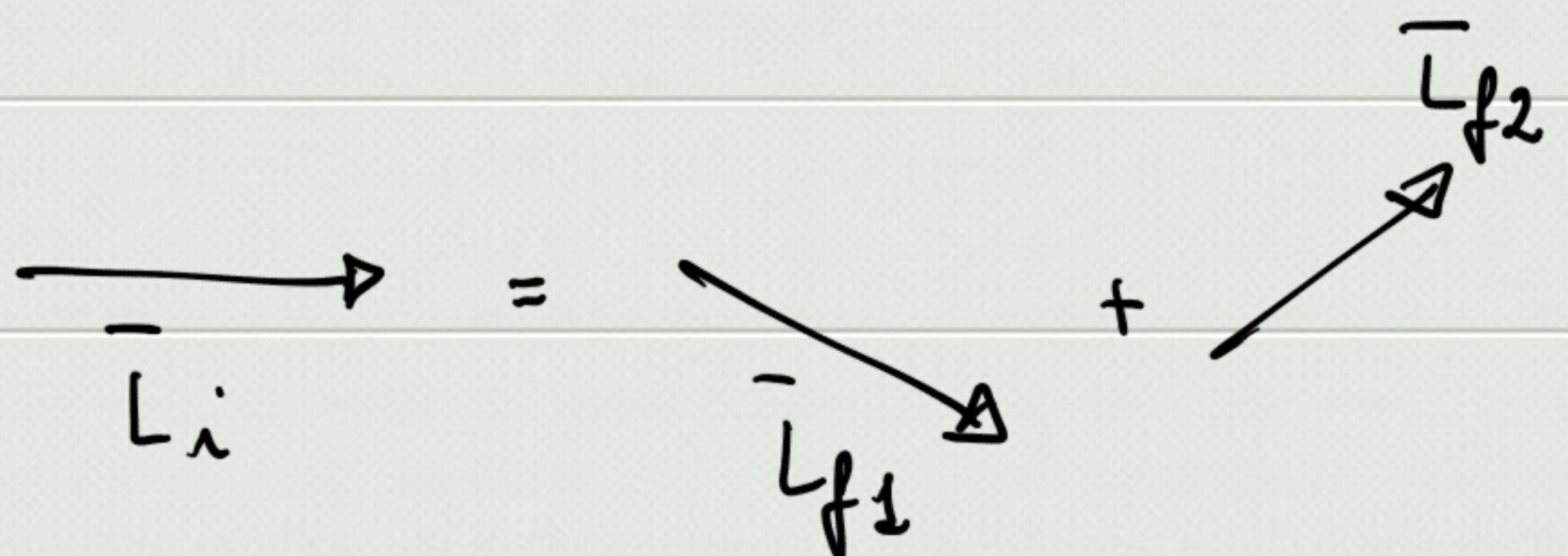
$$\begin{aligned}\bar{M}_O &= \bar{r} \times m\bar{g} \\ &\stackrel{!}{=} \frac{d\bar{L}_O}{dt} \\ \Rightarrow \boxed{\bar{L}_f = \bar{L}_i + \bar{M}_O \Delta t}\end{aligned}$$

10.1: conservazione del momento angolare: $\bar{L} = \text{cost}$

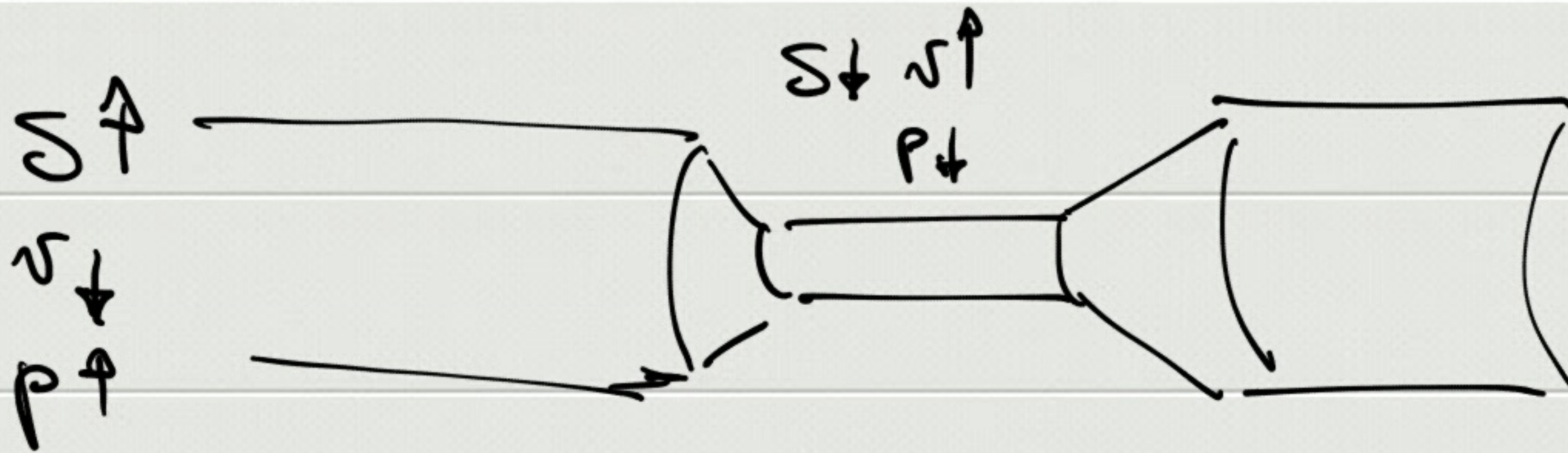
Sistema isolato: $\bar{L} = I \bar{\omega} = \text{cost}$

$$I_1 \omega_1 = I_2 \omega_2 \Rightarrow \omega_2 = \frac{I_1}{I_2} \omega_1$$

10.2: $\bar{L} = \text{cost}$



11: Tubo di Venturi

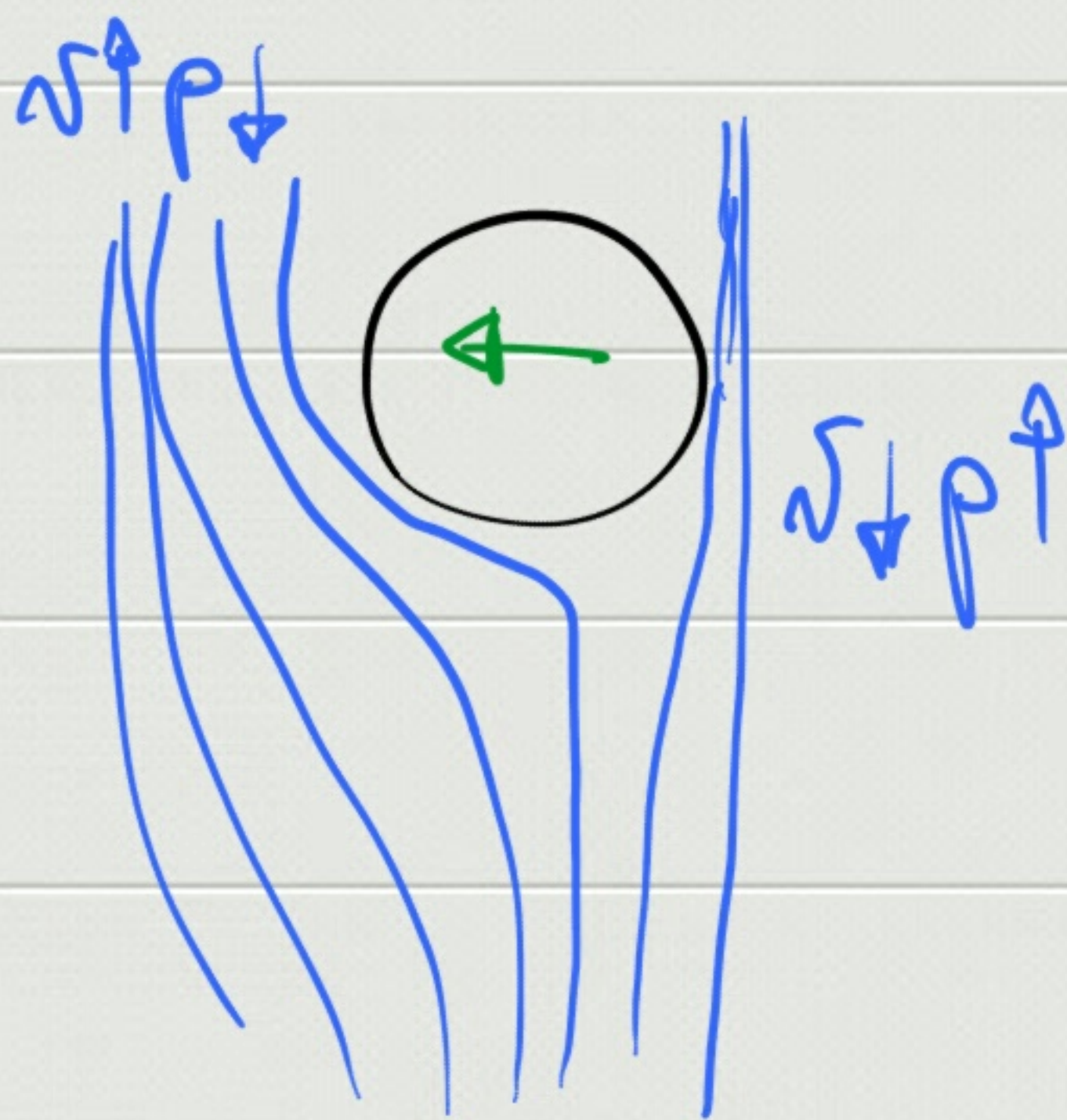


$$q = vS = \text{cost} \quad p + \frac{1}{2} \rho v^2 = \text{cost}$$

12: perdono idrodinamico :

depressione quando si riduce la sezione
del tubo di flusso

13: Bernoulli : $p + \rho g z + \frac{1}{2} \rho v^2 = \text{cost}$



14: Effetto Magnus